## О СОКРАЩЕНИИ ВРЕМЕНИ УСКОРЕНИЯ ЭЛЕКТРОНОВ В СИНХРОТРОНЕ НА 1500 *Мэв*

## В. В. ИВАШИН, Г. П. ФОМЕНКО

В электронных циклических ускорителях при больших энергиях ускоряемых электронов основная часть мощности ускоряющей системы затрачивается на покрытие радиационных потерь. Квантовый характер излучения приводит к раскачке фазовых и бетатронных колебаний и потере части ускоряемых электронов. Для уменьшения потерь электронов и мощности ускоряющей системы можно увеличить скорость роста магнитного поля в конце цикла ускорения. В настоящей работе рассмотрен один из вариантов увеличения скорости нарастания магнитного поля в конце цикла в ускорителе «Сириус» на 1,5 Гэв, и вычисляется потеря электронов из-за возбуждения фазовых колебаний квантовыми флуктуациями излучения.

## Схема возбуждения управляющего поля ускорителя с сокращенным временем ускорения

Магнитное поле электромагнита ускорителя «Сириус» на  $1,5~\Gamma$  эв создается путем разряда через коммутирующие приборы (тиратроны

ТР1-85/15) мощной конденсаторной батареи  $C_1$  на обмотку возбуждения электромагнита  $L_1$  [1]. При этом магнитное поле имеет во времени форму синусоидальной кривой, а ускорение до 1,5 Гэв должно происходить за время 37.3.  $\cdot$  10<sup>-3</sup> cek, 4TO COOTBETCTBVет углу 80° кривой полл возбуждения электромагнита. Расчеты показывают. что за последние 0,3 времени ускорения энергия электронов возрастает только на 16%. За эту же часть времени ускорения интен-

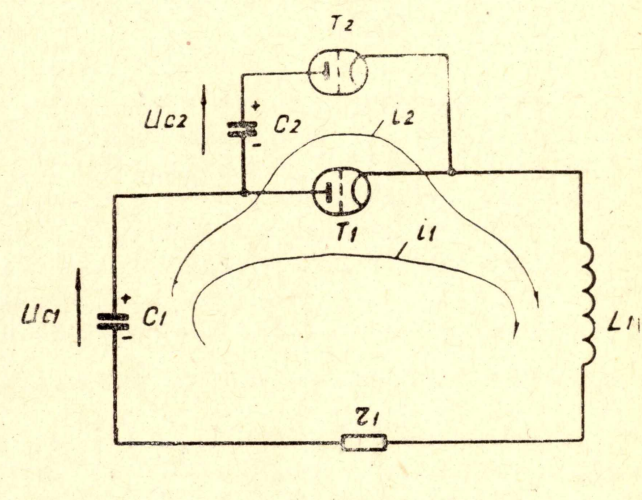


Рис. 1

сивность пучка ускоренных частиц уменьшается на 80% при конечном значении ускоряющего поля 180 кв.

1969

На рис. 1 приведена схема, позголяющая существенно уменьшить

время ускорения при высоких энергиях электронов.

Основная накопительная емкость  $C_1$  разряжается на электромагнит  $L_1$  через тиратроны  $T_1$ . Для тока и напряжения в цепи можно записать:

$$i_1 = -\frac{U_{C1}e^{-bt}}{\omega L_1} \cdot \sin \omega t, \tag{1}$$

$$u_{C1} = \frac{U_{C1} \cdot e^{-bt}}{\omega \sqrt{L_1 C_1}} \sin(\omega t + \psi_0), \qquad (2)$$

где  $\omega$  — угловая частота контура  $C_1L_1$  с учетом затухания,

$$\psi_0 = \operatorname{arctg} \frac{\omega}{b}, \quad b = \frac{r}{2L_1}.$$

При угле  $\approx 60^\circ$  открывается от схемы управления тиратрон  $T_2$ , и ток быстро, под действием напряжения  $u_{C2}$ , перехватывается из  $T_1$  в  $T_2$ . Введение в контур  $L_1C_1$  предварительно заряженной емкости  $C_2$ , напряжение которой согласно по направлению с напряжением  $U_{C1}^*$ , увеличивает скорость роста тока (и поля) в электромагните  $L_1$ .

Ток в индуктивности  $L_1$  после введения в контур емкости  $C_2$ 

описывается уравнением

$$i_{1} = I_{\kappa} e^{-bt} \left( \cos \omega_{2} t - \frac{b}{\omega_{2}} \sin \omega_{2} t \right) - \frac{U_{C1} + U_{C2}}{\omega_{2} L_{1}} e^{-bt} \sin \omega_{2} t, \tag{3}$$

где

 $I_{\kappa},\ U_{C1}^*,\ U_{C2}$  — ток в цепи и напряжения на емкостях  $C_1$  и  $C_2$ 

в конце перевода тока из вентилл  $T_1$  в  $T_2$ .

Учитывая, что затухание мало влияет на ток  $i_1$ , поскольку добротность систем питания ускорителей сравнительно высока, можно положить b=0 и несколько упростить выражение для тока:

$$i_1 = I_{\kappa} \cos \omega_2 t - \frac{U_{C1} + U_{C2}}{\omega_2 L_1} \sin \omega_2 t,$$
 (4)

где

$$\omega_2 pprox \sqrt{rac{C_1 + C_2}{C_1 C_2 L_1}} - ext{угловая}$$
 частота колебаний образовавшегося контура  $L_1 C_1 C_2$ .

После изменения знака напряжения на емкости  $C_2$  или даже при ее перезаряде до величины напряжения —  $U_{C2}$  тиратрон  $T_1$  вновь может быть открыт и перехватить ток вентиля  $T_2$ . Таким образом, после ускорения частиц контур  $L_1C_1$  вновь восстанавливается, и энергия из электромагнита на спадающей части синусоидальной кривой тока переходит в накопительную емкость  $C_1$ . Следует заметить, что если вентиль  $T_1$  открывается при изменении знака напряжения на емкости  $C_2$ , когда абсолютная величина напряжения невелика, в элек-

тромагнит оказывается дополнительно введенной энергия  $\frac{1}{2} C_2 U_{C2}^2$ .

Расчеты по формулам (1) и (4) показывают, что при вполне приемлемой величине конденсаторной батареи  $C_2$ , составляющей примерно 0,1 от величины основной батареи  $C_1$ , достигнуть номинальной энергии в 1500 M можно не при угле в 80°, а при угле 70° частоты  $\omega$ . Время ускорения сокращается при этом на  $5 \cdot 10^{-3}$  сек, а введение в контур емкости  $C_2$  необходимо делать при угле 60°.

Время ускорения, соответствующее углам  $60 \div 80^{\circ}$ , когда происходят основные потери электронов, таким образом, сокращается примерно в два раза.

На рис. 2 приведены кривые тока возбуждения электромагнита,

которые можно построить по формулам (1) и (4).

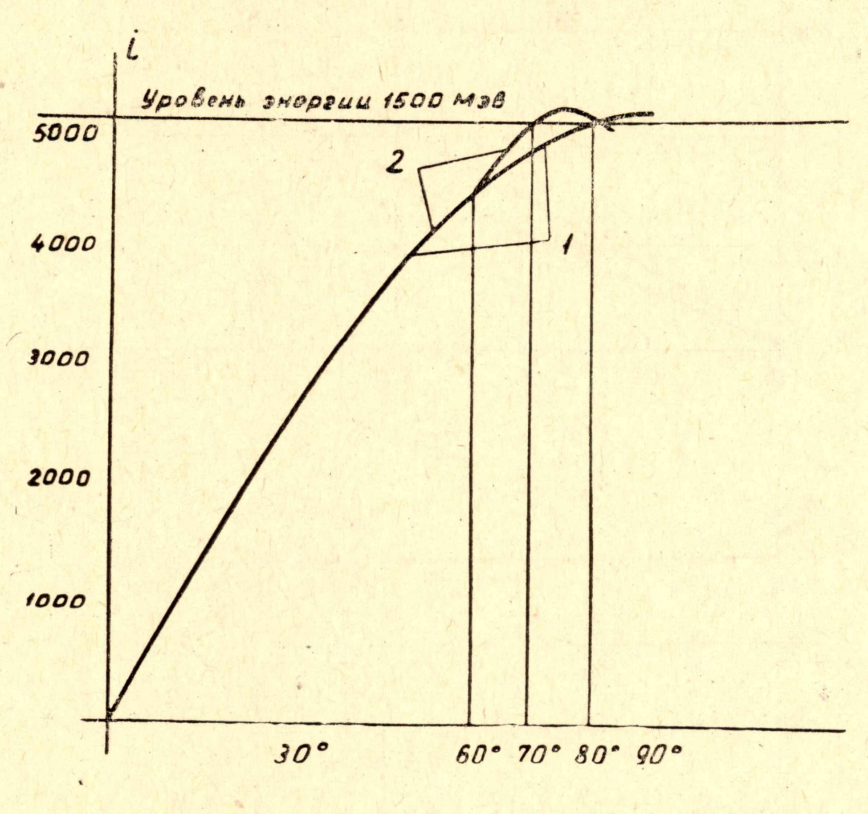


Рис. 2.

Кривая 1 соответствует изменению тока возбуждения электромагнита без увеличения скорости роста поля, а кривая 2-c увеличением скорости роста поля в области углов  $60-70^\circ$  частоты  $\omega$ . Расчет доли потерянных частиц производился по формуле Крамерса [2]. При расчете среднеквадратичной амплитуды фазовых колебаний, возбуждаемых квантовыми флуктуациями излучения, предполагалось, что амплитуда ускоряющего напряжения изменяется в течение цикла по закону, изображенному на рис. 3.

Скачок скорости роста амплитуды высокочастотного поля происходит в момент изменения скорости роста магнитного поля. В первой половине цикла ускоряющее напряжение будет изменяться не так, как изображено на рис. 3, но так как в это время квантовые флуктуации излучения не влияют на потери электронов, то действительная доля потерянных электронов незначительно будет отличаться от вычисленной.

На рис. 4 показано изменение количества частиц по циклу ускорения в относительных единицах для конечных значений амплитуды ускоряющего напряжения 220 кв (кривые 1) и 180 кв (кривые 2) при уменьшенном (пунктирные кривые) и полном времени ускорения. Зависимость доли оставшихся в камере частиц к концу ускорения от величины амплитуды высокочастотного поля показана на рис. 5. Кривая 1 показывает зависимость доли оставшихся в камере частиц при полном времени ускорения, а кривая 2 — при уменьшенном времени ускорения.

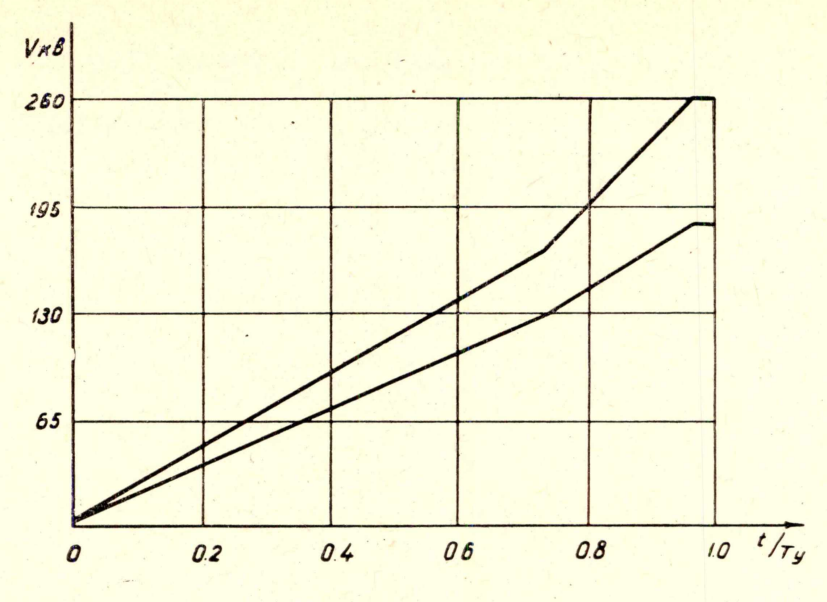
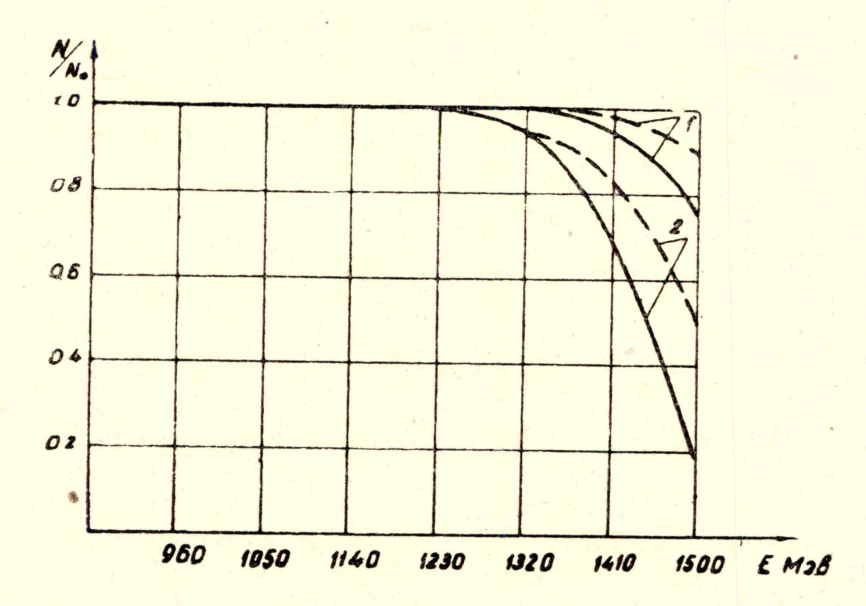


Рис. 3



Nк/ No 10 08 06 04 02 160 180 200 220 240 260 280 300 Vкв

Рис. 5

Из рис. 5 следует, что при конечном ускоряющем напряжении  $180~\kappa B$  уменьшение времени ускорения позволит достигнуть конечной энергии 50% частиц от общего числа ускоряемых частиц. Без уменьшения времени ускорения эту возможность имеют только 20% частиц.

При напряжении 220 кв соответственно будет ускоренно 90% частиц

вместо 75%.

Таким образом, уменьшение времени ускорения на  $5 \cdot 10^{-3}$  сек за счет конечной части дает возможность или уменьшить ускоряющее напряжение без уменьшения числа ускоренных частиц, или при прежнем напряжении существенно увеличить число ускоренных частиц.

## ЛИТЕРАТУРА

1. В. М. Қузнецов. Возбуждение электромагнита синхротрона с энергией ускоренных электронов 1 500 Мэв. Диссертация, г. Томск, НИИ ЯФ, 1963. 2. Н. А. Қгашегs. Physica 7, 285 (1940).